日本産科婦人科学会雑誌 ACTA OBST GYNAEC JPN Vol. 33, No. 7, pp. 987—995, 1981 (昭56, 7月)

子宮収縮を定量化したオキシトシン負荷胎児 試験に関する研究

鳥取大学医学部産科婦人科学教室(主任:前田一雄教授)

沢 住 和 秀

A Study on Oxytocin Challenge Test of the Fetus with Quantitative
Tocodynamometry Determined by Contraction Index

Kazuhide Sawazumi

Department of Obstetrics and Gynecology, Tottori University School of Medicine, Tottori (Director: Prof. Kazuo Maeda)

概要 ガードリング型外測陣痛変換器背面に800g の重錘を乗せ、腹壁圧着を一定にして、子宮収縮指数を用いて子宮収縮を定量化し、NST と OCT を行なった.

妊娠中の子宮収縮指数は分娩前 4 週で増加し、分娩前にふたたび増加した。また初産婦の方が経産婦よりも大きな子宮収縮指数を示した。OCT 時の胎児心拍数図所見は分娩時の所見と同様のものが多かつた。OCT は NST よりも分娩時 fetal distress を予測するのに有用 であるが、分娩時には OCT 陽性、疑陽性例 はもちろん、陰性例にも分娩監視をおこたつてはならない。OCT の最適負荷は子宮収縮指数で $65\sim70$ min・g/cm² と思われる。高くても100min・g/cm² 以下におさえた方がよい。OCT 施行中に fetal distress を示した場合はすぐに中止すべきである。OCT 陽性例では OCT により LTV 減少傾向がみられた。

Synopsis External tocodynamometric transducer loaded by 800 g weight on its back was placed on the abdomen of pregnant estimated by contraction woman and uterine contraction during NST and OCT was index which was defined by 10 minutes' total of amplitude (g/cm²) multiplied by the duration (min) at the half amplitude. Observations of OCTs were similar to intrapartum ones. OCT was more useful than NST in the prediction of fetal distress during labor. The adequate contraction index for OCT was 65 to 70 min• g/cm².

Key words: NST.OCT.Contraction stress level

緒 宣

妊娠中及び分娩時の胎児管理にはエストリオール,HSAP等の内分泌学的,生化学的な胎児胎盤機能検査法と,ME 検査法,たとえば超音波断層法による胎児発育診断,分娩監視装置を使用したnon-stress test (以下 NST と略),オキシトシン負荷試験(以下 OCT と略)などがある。NSTは簡単で胎児に負荷を与えないため禁忌となる症例はなく,検査時の胎児の状態を推測できる。これに対し OCT は胎児胎盤予備能の推定による分娩時fetal distress の予測を目的として実施される。OCT の負荷としては、10分間に3回の子宮収縮が一般に用いられているが、どの程度の強さの

子宮収縮を起こさせればよいかは明らかでない. 10分間に3回の子宮収縮があつても、収縮が弱ければ偽陰性となり、また逆に強すぎれば偽陽性となる可能性がある。本研究では OCT として適当な子宮収縮の強さを決定することを目的とした.

研究対象

対象は、鳥取大学医学部附属病院産科婦人科外来で妊娠経過を観察した妊娠32~42週の妊婦206例,延べ225例で、年齢は19~35歳(平均27歳)である。このうち初産婦103例、経産婦103例であり、またハイリスク妊娠は37例で、その内訳は妊娠中毒症24例、甲状腺機能亢進症3例、気管支喘息3例、心臓疾患2例、重症筋無力症1例、肝機

能障害1例,糖尿病1例,本態性高血圧症1例, 結節性硬化症1例であつた.

研究方法

1. 子宮収縮及び胎児心拍数記録方法

超音波断層法で児頭大横径、胎盤付着部位、羊水量を検査し、最終月経、子宮底長をあわせて妊娠週数を確認したのち、妊婦に仰臥位または半坐位をとらせ、背面に800gの重錘を乗せたガードリング型外測陣痛変換器を胎児部分の触れない子宮底部に置き、外測法で子宮収縮曲線を、胎児心音信号または超音波ドプラ胎児心臓信号により胎児心拍数図を自己相関型分娩監視装置(トーイツTN 400, TN 300)で同時記録した。

心拍数は80 beats per min (以下 bpm と略) と160 bpm で校正し、また子宮収縮曲線は50g の 分銅を上向きにしたガードリング型外測陣痛変換 器の感圧部に置き、記録紙上で15mm の振れとな るように感度を調節した.

仰臥位低血圧症候群の有無を確認するため5分毎に血圧測定を行ない,低血圧となつた場合は被検者を左側臥位とし,血圧回復後に軽度左側臥位をとらせて OCT を施行した.

2. NST

OCT 施行に先立ち、全症例に30分間 NST を施行した。15bpm 以上の一過性心拍数増加が15 秒以上持続したものを acceleration とした。20分間に2回以上の acceleration がみられるものを reactive, 1回以下の acceleration を non-reactive とした。type II dip, 160bpm 以上または120bpm 未満の基線心拍数, 5bpm 未満の基線細変動,あるいは sinusoidal pattern は abnormal NST とした。abnormal NST で fetal distress と診断された場合は OCT は施行しなかつた。

3. OCT 実施方法

オキシトシン1国際単位 (以下 IU と略)を含む溶液 1ml を生理食塩水 9ml で希釈し、10分間に3回の明瞭な子宮収縮がみられるまで1分間に0.1ml (オキシトシン0.01IU を含む) ずつ静注した.子宮収縮発来がみられない症例では1回0.02IU、0.03IU、0.04IU と段階的に増量した.

また後述の子宮収縮指数は50min・g/cm²以上となるようにした。

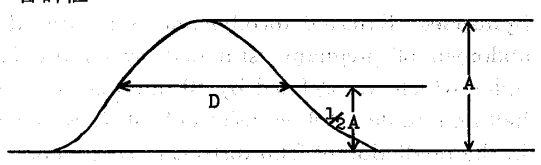
4. OCT 判定方法

胎児心拍数基線が120bpm 未満となつたもの,子宮収縮の50%以上に type II dips がみられたもの,及び基線細変動消失を陽性とし,子宮収縮の50%未満に type II dips がみられたもの,胎児心拍数基線が160 bpm 以上のもの,変動一過性徐脈(variable deceleration,以下 VD と略)がみられたものを疑陽性とし,前記のいずれもがみられなかつたものを陰性とした.

5. 子宮収縮指数の算出方法

子宮収縮の評価には子宮収縮指数を用いた.子宮収縮曲線の基線から頂点までの振幅(グラムで表現)と、その1/2点での収縮持続時間(分で表現)の積を10分間について合計し、変換器感圧部面積2.54cm²で割つて算出した(図1). また子宮収縮を最もよく表現するといわれるプラニメー

図1 子宮収縮指数,子宮収縮指数とは,〔D(分) ×A(g)〕/変換器感圧部面積(cm²)の10分間の 合計値



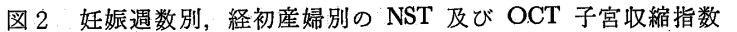
タ値と子宮収縮指数を、OCT で得られた種々の子宮収縮曲線で比較すると、収縮指数はプラニメータ値の96.1±9.1%であった。OCT 施行時にプラニメータ値を分娩監視装置の記録紙上で計測するのは困難であり、子宮収縮の簡単な指標として子宮収縮指数を用いるのが便利であった。

研究成績

1. 妊娠週数別子宮収縮指数

30分間の NST で、10分毎に算出した3個の子 宮収縮指数の平均値をその症例の NST 子宮収縮 指数とした。

NST 子宮収縮指数を各妊娠週数別, 初産経産別に比較した. この成績は正規分布をとらないため, 各週数について平均値, 中央値, 四分位偏差を求めた(表1). 初産婦では, 平均値は40週



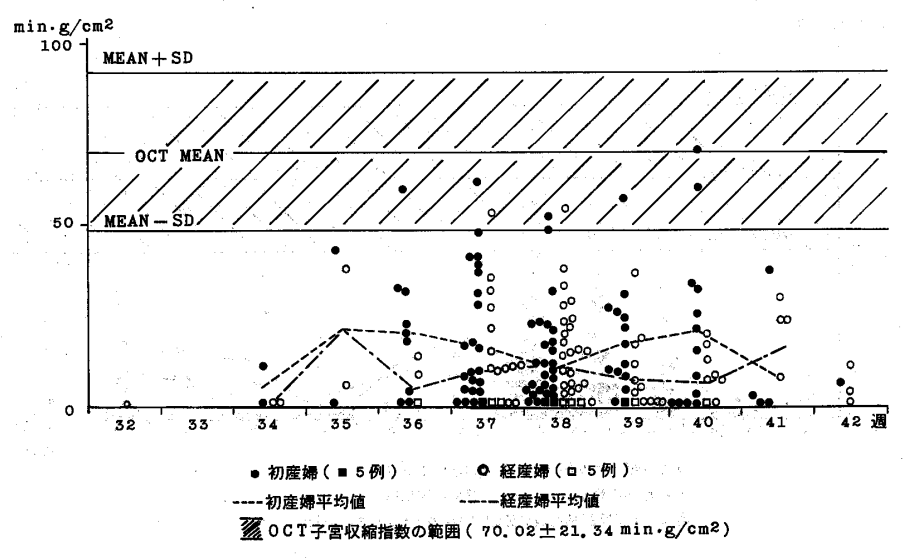


表 1 妊娠週数別の NST 子宮収縮指数 (min·g/cm²)

1. 初産婦の週数別 NST 子宮収縮指数 (計 112例)

統	計項	目	35 以下	36	37	38	39	40	41週 以上
平	均	値	13.65	20.86	15.90	9.87	17.51	20.97	9.15
中	央	値	5.82	19.59	7.97	4.96	9.01	14.49	2.95
四分	子位	幕差		14.02	15.66	8.40	12.36	16.32	:
症	例	数	4	9	27	36	18	13	5

2. 経産婦の週数別 NST 子宮収縮指数 (計 113例)

統計項目	35 以下	36	37	38	39	40	41週 以上
平均値	8.69	3.17	9.32	10.12	6.22	5.71	14.11
中 央 値	0	0	3.85	5.00	:,0	3.21	10.60
四分位偏差		4.36	5.59	8.67	5.79	6.34	14.62
症 例 数	5	7	27	39	16	12	7

20.97min・g/cm², 中央値は36週19.59min・g/cm² が最大で、経産婦では平均値、中央値とも41週以上がそれぞれ14.11min・g/cm², 10.60min・g/cm² と最大値を示した。初産婦、経産婦とも漸増傾向はみられなかつたが、初産婦の方が経産婦より値が大きい傾向はみられた。

2. 分娩日までの日数別子宮収縮指数

分娩時週数の影響を検討するために、分娩日か ら逆算した日数で NST 子宮収縮指数を求めた. 初産婦、経産婦共に分娩6日前に平均値はそれぞ 126.09min・g/cm², 13.03min・g/cm² とピーク 値を示したのちに減少し、初産婦では分娩4日 前,経産婦では分娩3日前に最小値を示し、その 後ふたたび増加して分娩に至つた(表2,図3). しかし分娩前1週間以内では症例数が少ないた め、分娩前1週間を2日以内、3日以上に分けて みると、NST子宮収縮指数平均値は2日以内では 初産婦19.06min · g/cm²,経産婦12.41min · g/cm², 3日以上では初産婦14.52min・g/cm², 経産婦 7.44min·g/cm² となり、初産、 経産ともに分娩 27日前ごろから増加し、以後は変化が少ないが分 娩2日前からふたたび増加を示した. しかも初産 婦の方が経産婦に比べその 傾向 が 著明 であつた (図4).

3. OCT の所見

OCT 陽性と判定した 1 症例の 胎児心拍数図では軽度頻脈と late deceleration (以下 LD と略)がみられた(図 5). 本症例の 母体血中エストリオール(以下 E_s と略)は正常域にあつたが,陣痛誘発でふたたび LD が出現し fetal distress と診断され帝王切開分娩となつた.

OCT 陽性例, 疑陽性例, OCT 陰性で分娩時 に fetal distress と診断された症例 を検討すると 990

図3 分娩日までの日数別,経初産婦別の NST 及び OCT 子宮収縮指数

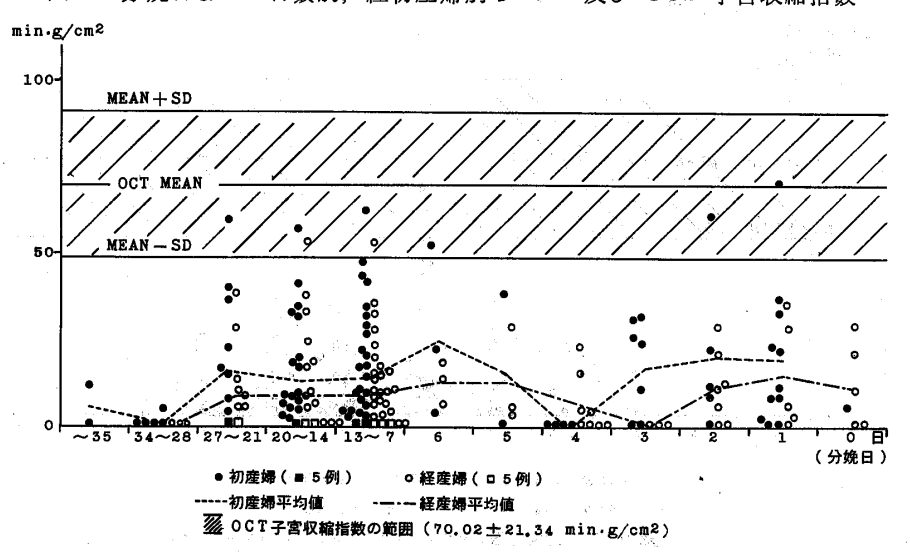


表 2 分娩日までの日数別 NST 子宮収縮指数 (min·g/cm²)

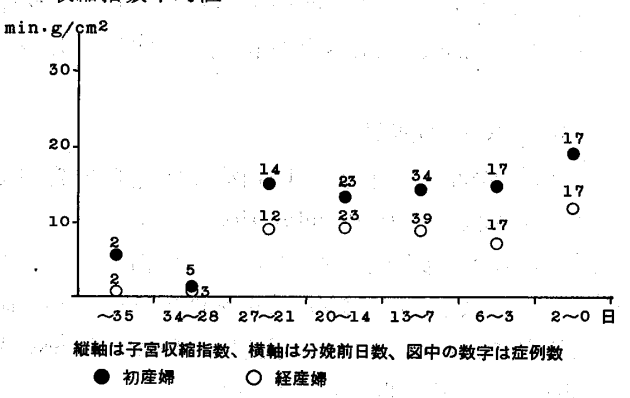
1. 初産婦の分娩前日数別 NST 子宮収縮指数 (112例)

統計項目	~35	34~28	27~21	20~14	13~7	6	5	4	3	2	1	0 (分娩日)
平均值	5.83	0.84	16.44	13.50	13.97	26.09	15.04	0	17.60	20.60	19.58	5.95
中央値	. 1	.0	11.53	7.06	6.79	22.58	7.09	0	24.73	11.20	11.14	
四分位偏差		* 14 3/4	10.91	9.80	11.15				15.37		14.92	10
症例数	2	5	14	23	34	3	3	4	7	5	11	1

2. 経産婦の分娩前日数別 NST 子宮収縮指数 (113例)

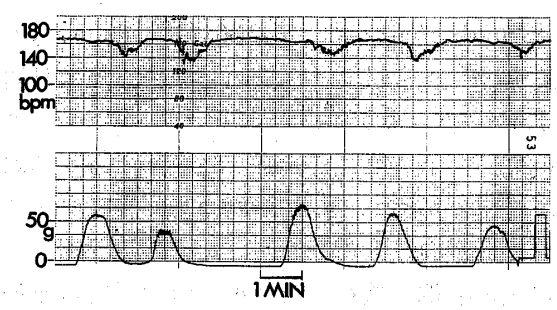
統計項目	~35	34~28	27~21	20~14	13~7	6	5	4	3	2	1	(分娩日)
平 均 値 中 央 値 四分位偏差	0 0	0 0	8.96 5.22 6.74	9.40 0 8.68	8.89 3.85 7.35	13.03 14.35	12.73 5.69	6.14 2.41 7.68	0	11.58 11.58 10.50	14.79 5.22	11.22 10.59
症 例 数	2	3	12	23	39	3	3	8	3	7	5	5

図4 分娩日までの日数別, 経初産婦別 NST 子宮 収縮指数平均値



(表3, 4, 5), OCT で type II dip がみられた症例では分娩時にも type II dip が出現しやす

図5 OCT 陽性の1症例



く, OCT で VD がみられた 症例 では 分娩時 に VD が出現 する頻度が高く, OCT と分娩時の所 見は比較的よく対応していた.

4. fetal distress の予測

分娩時の fetal distress の予測を NST と OCT

表3 OCT 陽性例の詳細

症	週		OC	T 時心	拍数図		血中 E ₃ 分娩時心拍数図			Apgar	
症例番号	数	NST	所 見	dip 持続 (秒)	dip 振幅 (bpm)	収縮指数 (min· g/cm²)			胎盤,臍帯	スコア	備考
1	36	N-R	LD mVD	44	50	69.00	160	LTV 減少 (8 bpm) mVD		8	Hb 7.9 g/dl 妊娠中毒症軽症
	38	N-R	LD mVD	96	16	93.70	200	type II dip	A September 1996		誘発分娩
2	42	R	LD mVD	28	12	65.93	213 Separt la a	LD mVD 軽度頻脈	臍帯辺縁付着 胎盤石灰沈着	9	fetal distress 帝王切開術 予定日超過
3	37 38	R R	LD mVD LD	68 48	16 12	54.03 45.13	140 128	正常	臍帯卵膜付着 臍帯巻絡頚部1回 胎盤石灰沈着	9	誘発分娩 高年初産
4	38	R	mVD LD	44	12	58.20	135	正常		9	誘発分娩 Rh 不適合妊娠
	39	R	mVD type II dip	56	12	44.73	152	s fo	A sec		

R: reactive, N-R: non-reactive, LD: late deceleration,

mVD: mild variable deceleration

表 4 OCT 疑陽性例の詳細

症	週		OC	T時心	拍数図	2.3	血中 E3	分娩時	. ! ;	Apgar	
症例番号	数	NST	所 見	dip 持続 (秒)	dip 振幅 (bpm)	収縮指数 (min· g/cm²)	III中 E3 (ng/ml)	心拍数図	胎盤,臍帯	スコア	備考
1	37	N-R	mVD	100	30	74.00	106	sVD,	1 1		C. I.P.
	40	N-R	SVD type II dip	426	76	83.50	100	type II dip 高度頻脈 (180 bpm)	胎盤梗塞	9	fetal distress 帝王切開
2	38 39	R R	mVD mVD	126 150	16 20	94.30 102.00	39 18	sVD type II dip	胎盤石灰沈着 臍帯下垂	7	fetal distress 帝王切開
3	39	R	mVD	184	28	38.90	140	mVD	胎盤梗塞 臍帯巻絡下肢 2 回	9 2011 1 27 42	;
4	38	R	mVD	72	40	79.80	215	sVD ·	_	6 (5分後 9)	fetal distress 吸引分娩
5	37 38	R R	mVD	60	24	60.20 61.80	112 136	i i i i i i i i i i i i i i i i i i i	臍帯巻絡頸部1回	10	
6	36 38	R R	mVD sVD	48 74	48 64	77.10 54.50	144 167	軽度頻脈 (160~180 bpm)		9	妊娠中毒症軽症 吸引分娩
7	37	R	sVD	200	74	56.17	50	sVD		9	IUGR fetal distress
				44.1	1 441	9 63		e factor	(1) (1) (1) (1) (1) (1) (1) (1) (1) (1)		帝王切開 妊娠中毒症軽症
8	37	R	mVD	56	36	95.89	74	43 (5) 2 20 (4) 3	臍帯巻絡頸部1回 胎盤石灰沈着,梗塞	9	72/7/12/12/12
9	39	R	sVD	260	68	85.88	110	,	Man avious, Cas	9	
10	39	R	mVD	16	60	84.89	120	187 vin	valen (178)	9	
11	38 40	N-R N-R	mVD	20	68	66.57 44.61	105 112	mVD type II dip	胎盤石灰沈着	9	
12	37 40	R R	mVD	92	24	133.46 82.07	162 202	軽度頻脈 一部に sinusoi-	臍帯巻絡頸部1回	9	
10	00	NT D	mVD	104	20	01.00	247	dal pattern sVD	 臍帯巻絡頸部1回	7	
13 14	38 38	N-R N-R	mVD mVD type II dip	124 112	32 40	91.06 86.47	52	sVD	所带包稻块的 I 四	9	
15	38	R	mVD	84	38	68.67	229		Mark the second of the second	9	
16	37	R	mVD	38	68	49.46	226	\$ 1 mm (2)		9	
		1	type II dip	507511	2 1.7		Page 1				
17	40	R	sVD	140	80	63.68	109		臍帯巻絡下肢1回	9	吸引分娩
18	37	R	type II dip	76	16	113.41	96	mVD type II dip	臍帯巻絡頸部1回 真結節1回	9	誘発分娩
19	37	R	mVD	164	52	108.10	109	sVD	臍帯辺縁付着 胎盤石灰沈着	7 .	fetal distress 吸引分娩

:	20	38	R	mVD	46	52	91.42	79		胎盤石灰沈着	9		
1	21	39	R	mVD type II dip	68	20	87.04	400		胎盤石灰沈着, 梗塞 臍帯巻絡頸部1回	9	7	
1	22	38	N-R	mVD	44	42	114.52	148		胎盤石灰沈着	9		
2	23	39	R	type II dip mVD	40	12	87.32	72	車中分娩	胎盤梗塞	P		
2	24	40 40	R R	type II dip(?) type II dip(?)			56.52 54.12	196 230		胎盤に 2×2 cm の 嚢腫性欠損	4 a 1 9 7 a 14 a 1	CPD 帝王切開	

R: reactive

mVD: mild variable deceleration

N-R: non-reactive

sVD: severe variable deceleration

OCT 陰性で分娩時正常陣痛で fetal distress と診断された症例の詳細

症例 番号	週数	NST	OCT 時 子宮収縮指数 (min·g/cm²)	血中 E3 (ng/ml)	分娩時 心拍数図	胎盤,臍帯	Apgar スコア	備考
1	42	R	31.00	167	SVD	臍帯巻絡頸部1回	9	吸引分娩
2	41	R	63.10	152	SVD	臍帯巻絡頸部1回	9	CPD 疑,試験分娩 帝王切開
3	37	R	44.00	119	SVD	胎盤石灰沈着 臍帯巻絡頸部1回	9	Kristeller 圧出法
4	39	R	79.66	184	SVD	臍帯巻絡頸部1回	9	吸引分娩
5	40	R	82.25	146	SVD	臍帯巻絡肩1回 胴1回	4 (3 分後 8)	吸引分娩 予定日超過
6	38	R	71.14	67	SVD	胎盤石灰沈着 臍帯巻絡頸部1回	5 (3 分後 9)	吸引分娩
7	36	R	75.61	62	持続性徐脈 (60 bpm)	一部常位胎盤早期剝離 臍帯辺縁付着	5 (2分後9)	吸引分娩
8	32	N-R	66.07	46	持続性徐脈	胎盤梗塞	6	帝王切開
±200 + 300 ±200 ± 1	35	R	77.46	63	(118 bpm) 細変動消失 (6 bpm)	(G) (S) (B)	(3分後9)	羊水過多症,IUGR 児は常染色体異常 多発奇形

R: reactive,

N-R: non-reactive, SVD: severe variable deceleration

表 6 Fetal distress 予測に関する NST と OCT の比較

			Fetal distress		
4		陽性	疑陽性	陰 性	1 ctar distress
N	Non- reactive	1	5	17	2 (8.7%)
S	Reactive	3	. 19	161	12 (6.6%)
Fet	al distress	1 (25%)	(20.8%)	(4.5%)	Fetal distress 計 14例

の所見から検討すると (表 6), non-reactive NST 症例中,分娩時に fetal distress を示したのは 8.7%, reactive NST 症例では6.6%であつたが、 OCT 陽性例では fetal distress が25%, 疑陽性例 では20.8%, 陰性例では4.5%であつた. 分娩時 の fetal distress を予測するには OCT の方が NST より優れていた. なお OCT 陰性例の fetal distressは、児の多発奇形と常染色体異常の1例、 及び常位胎盤早期剝離の1例を除いては高度 VD によるものであり、これらは一般に fetal distress

を予測し難い症例であつた.

5. OCT に適した子宮収縮負荷の大きさ

OCT における type II dip 出現時の子宮収縮 指数をみると、分娩時に fetal distress と診断さ れた症例では子宮収縮指数が66min・g/cm²以下 で type II dip が出現したが、これ以上の子宮収 縮指数で type II dip が出現した症例では分娩時 に fetal distress を示さなかつた (表7). これら の結果から、 OCT 負荷としては子宮収縮指数65 ~70min·g/cm² が適当と考えられた. なお分娩 第1期から2期初めまでの 子宮収縮指数 は104.9 ±19.4min・g/cm² であつた.

6. OCT による胎児心拍数図成分の変化

胎児心拍数基線 は OCT により、 陰性例 では 139.8±7.4bpm から141.8±7.5bpm へ, 疑陽性 例では145.3±8.0bpm から146.1±8.9bpm へ、 陽性例では142.6±8.7bpm から146.3±10.5bpm へそれぞれ増加した. しかし OCT 陰性例のみに

表 7 Type II dip 出現時の OCT 収縮指数と分娩時 fetal distress

	OCT 子宮収縮指数		
症例番号	Type II dip	分娩時所見	備考
January Carl	なしあり		
1	64.17 65.93	fetal distress	帝王切開
2	28.28 56.17	fetal distress	IUGR, E3 低值
.3	25.72 41.99	fetal distress	帝王切開
4	31.51 62.99	mVD, type II dip	妊娠中毒症重症, 貧血
5	30.47 42.72	正常	IUGR, 重症筋無力症
6	56.70 73.50	同上	
7	28.34 56.52	同上	喘息
8	47.25 107.61	mVD, type II dip	E3 低值
9	59.70 86.47	sVD, type II dip	E3 低值
10	51.53 68.67	正常	胎盤石灰化
11	72.74 87.32	同 上	E3 低值,胎盤梗塞
12	57.79 87.04	同上	妊娠中毒症軽症, 胎盤梗塞

表 8 OCT による30分間の胎動数及び acceleration 数の変化

OCT	NS	T	OCT		
成績	胎動	Accelera- tion	胎動	Accelera- tion	
陽性	13.3±7.3	5.1±4.1	9.1±4.6	2.6±2.8	
疑陽性	14.9±9.2	5.8±5.3	15.4±15.0	4.2±4.2	
陰 性	13.4±11.1	6.0±4.3	14.2±9.0	6.8±5.6	

有意差 (0.01 がみられた.

胎児心拍数細変動の long term variability (以下 LTV と略) は、OCT 陰性例では OCT により11.0±3.5bpm から12.4±3.7bpm へ有意 (p<0.001) に増加し、疑陽性例でも12.1±3.3 bpmから12.6±3.6bpm へ増加傾向がみられた。しかし陽性例では逆に9.0±3.2bpm から7.0±1.3bpmへと減少傾向を示した。

30分間の NST, OCT の子宮収縮曲線上に記録された胎動数と, 胎児心拍数図上の acceleration数は, OCT 陰性例では共に増加傾向を示し, 疑陽性例では胎動が増加し, acceleration は減少する傾向にあつた. 陽性例では共に減少傾向がみられた(表8).

考 察

1. OCT

OCT の適応としては、NST 所見が non-reactive な例のみでよいとするものが多いが¹¹⁾¹⁴⁾、NST より OCT の方が分娩時の fetal distress を予測す

るのに役立つと考えられ、また reactive NST でも OCT 陽性、疑陽性となり、分娩時に fetal distress を発症する例があるので、かならずしも reactive NST 例に OCT 不要と断言はできない.

一般に NST 所見が reactive なものは予後良 好で⁷⁾¹⁴⁾, OCT 陽性の non-reactive NST では帝 王切開術頻度が高いが、同様な reactive NST で は帝王切開術を準備し、十分な分娩管理のもとに 試験分娩が施行されている.一方, OCT 陽性例 で胎児負荷として用いた子宮収縮が正常の妊娠経 過中にも起こりうる程度の強さであれば、それは 妊娠中でも胎児が危険な状態となりうる徴候とい える. しかし通常の妊娠経過中には起こりえない 強い子宮収縮ではじめて OCT 陽性所見がみられ る場合は、分娩時に厳重な監視をすれば十分であ る.分娩中にもみられないようなさらに強い子宮 収縮でも OCT 陰性 ならば 胎児予備能は大きい が、もしこの場合に OCT 陽性なら、分娩時監視 とともに過強陣痛を起こさないような注意が必要 と考えられる.

OCT 陽性であつても分娩時には胎児心拍数図で fetal distress がみられない OCT 偽陽性の頻度は、 $0\sim60\%$ と報告者によつてまちまちである $^{4)10)18)$. 著者の成績での偽陽性率は75%と高率であつたが、これは OCT として適当な負荷の大きさを決定するために、 $^{\prime}$ やや大きな子宮収縮負荷

を用いたことがその理由と考えられ、また OCT の判定基準で、陽性の type II dips 発生頻度を子宮収縮回数の50%以上と、やや低くしたことも一因と考えられる。OCT 陽性の判定基準には、 45 秒以上の持続時間の子宮収縮が10分間に3回あるとき、子宮収縮のすべてに対して type II dips がみられる場合を陽性とするものから、50%以上でよいとするものまで様々である10120. 著者は胎児負荷としての OCT 子宮収縮が強弱不ぞろいのこともあり、子宮収縮の50%以上の type II dips 出現を陽性とした.

2. 子宮収縮指数

子宮収縮の正確な検出には内測法が理想的であるが、妊娠中には子宮収縮内測法は施行できず、外測法によらざるをえない. 従来外測法では子宮内圧を表現することは不可能とされていたが、Smyth¹⁶ はガードリング型変換器を用いて外測法により内圧を推定する可能性を示唆した. 外測法子宮収縮曲線は内測法曲線と極めてよく似ており⁵、 さらに重錘つき外測変換器を使用した外測法と内測法の関係式が伊藤⁹によつて示され、外測法の測定条件を一定にすることにより症例間の子宮収縮を比較することも可能となつた.

著者は type II dip 出現時の子宮収縮と分娩時の胎児心拍数図所見から、OCT の負荷として65~70min・g/cm² の子宮収縮指数が適当 と考えたが、この値はプラニメータ値に換算すると約67.6~72.8min・g/cm² に相当した.

本研究における OCT の子宮収縮指数は、ほぼ 50min・g/cm² 以上であるが、それには15mm/19.7 g/cm² の感度としたときの記録紙上で子宮収縮曲線振幅が12mm 以上変化する必要があつた.子宮口開大には内測法で30mmHg 以上が必要といわれ、これを伊藤の式に代入すると上記感度の外測法では17.6mm 以上となる.子宮内静圧は9.6 mmHg 前後であり、これは外測法では7.4mm の振幅に相当する.したがつて外測法で10.2mm 以上の振幅変化があれば子宮口は開大しうることになり、 OCT ではそれ以上の子宮内圧になつていることが推測される.

分娩第1期から第2期初めの子宮収縮指数は 104.9 ± 19.4 min•g/cm²であつたが、内測法による分娩時のプラニメータ値は分娩経過にしたがい強くなり、その値は $100\sim200$ mmHg・分である 6 . これは子宮収縮指数では $68.7\sim137.4$ min・g/cm²に相当し、外測法によるものとよく一致する.

NST の子宮収縮指数 が OCT の子宮収縮指数 範囲内にある症例もときにみられるが,このよう な場合を NST としてよいかどうか疑問である. Schifrin et al. ¹⁵⁾は既に十分な子宮収縮がある場 合はspontaneous CST としており, NST を弱い子 宮収縮の場合と, OCT に似た強い子宮収縮の場 合に分けて考える必要がある.

NST 子宮収縮指数の平均値は分娩前3~4日に減少したが、これは分娩前4~6日に妊婦血中のオキシトシンを主とした子宮収縮物質が減少し、分娩時に再度増加するという報告。に一致する. しかし Caldeyro-Barcia® は分娩に向つて子宮収縮が増大するとしており、妊婦血中オキシトンンも漸増するとする報告¹⁷もある. 本研究でも分娩前1週間を分娩前3日以上と2日以内の2つに分けると NST 子宮収縮指数は漸増傾向を示したが、この時期の症例数が少ないため確実な成績は明らかでなかつた.

3. 胎児心拍数図

OCT 陰性例では負荷により胎児心拍数基線が上昇し、LTV が増大する傾向がみられたが、同時に胎動や acceleration の増加がみられ、これは胎児が負荷により賦活されたためと思われる. 本現象は分娩時に undulatory pattern が増し、narrow undulatory 及びsilent pattern が減少するという報告"にも一致する. しかし OCT 陽性例ではLTV は逆に減少しており、これは latent fetal distress が原因と考えられる. さらにLTV 減少により smooth baseline となれば fetal distress となる危険が増加する¹³⁾.

本論文の 要旨 は 第31回日本産科婦人科学会学術講演 会 (昭和54年4月, 東京) において発表した. 稿を終る にのぞみ, 御指導御校閲を賜った恩師前田一雄教授に深 謝する.

文 献

- 1. **干村哲朗**:妊娠末期における胎児心拍変動. 産 婦治療, 31:537, 1975.
- 伊藤隆志:外測子宮収縮記録 に 関 する実験的及び 臨床的研究. 米子医学雑誌, 30:205, 1979.
- 3. **片桐信之**: Superfusion 法 による 血中子宮収縮 物質並びに抗子宮収縮物質 の 妊娠経過に 伴な う消長、横浜医学, 17: 221, 1966.
- 4. 松山明美, 秋山治也, 佐藤啓治, 並木俊始: オキシトシンテストとその 周辺—oxytocin mild stress test の提唱—日産婦神奈川会誌, 15:16, 1978.
- 5. 森 好造:外測子宮収縮曲線記録法の意義に 関する研究. 米子医学雑誌, 24:337, 1973.
- 6. **鈴村正勝**:子宮収縮に関する研究,第17回日本 産科婦人科学会宿題報告要旨,1965.
- Barrada, M.I., Edwards, L.E. and Hakanson, E.Y.: Antepartum fetal testing. The acceleration/constant ratio: A nonstress test. Amer. J. Obstet. Gynec., 134: 538, 1979.
- 8. Calde yro-Barcia, R.: Uterine contractility in Obstetrics. Extrait du Deuxième Congrès International de Gynécologie et d'Obstetrigue de Montréal, 1: 65, 1958.
- 9. Evertson, L.R. and Paul, R.H.: Antepartum fetal heart rate testing: The nonstress test. Amer. J. Obstet. Gynec., 132: 895, 1978.
- Huddleston, J.F., Sutliff, G., Carney, F.E. and Flowers, C.E.: Oxytocin challenge test for antepartum fetal assessment. Amer. J. Obstet. Gynec., 135: 609, 1979.
- 11. Koller, W.S. and Curet, L.B.: Fetal activity

- determinations and oxytocin challenge test for assessment of fetal well-being. Obstet. Gynec., 52: 176, 1978.
- 12. Pratt, D., Diamond, F., Yen, H., Bieniarz, J. and Burd, L.: Fetal stress and nonstress tests: An analysis and comparison of their ability to indentify fetal outcome. Obstet. Gynec., 54: 419, 1979.
- 13. Ray, M., Freeman, R., Pine, S. and Hesselgesser, R.: Clinical experience with the oxytocin challenge test. Amer. J. Obstet. Gynec., 114: 1, 1972.
- 14. Read, J.A. and Miller, F.C.: Fetal heart rate acceleration in response to acoustic stimulation as a measure of fetal well-being. Amer. J. Obstet. Gynec., 129: 512, 1977.
- 15. Schifrin, B.S., Foye, G., Amato, J., Kates, R. and Mackenna, J.: Routine fetal heart rate monitoring in the antepartum period. Obstet. Gynec., 54: 21, 1979.
- 16. Smyth, C.N.: The guard-ring tocodynamometer. Absolute measurement of intra-amniotic pressure by a new instrument. J. Obstet. Gynec. Brit. Emp., 64: 59, 1957.
- 17. Vasicka, A., Kumaresan, P., Han, G.S. and Kumaresan, M.: Plasma oxytocin in initiation of labor. Amer. J. Obstet. Gynec., 130: 263, 1978.
- 18. Visser, G.H.A. and Huisjes, H.J.: Diagnostic value of the unstressed antepartum cardiotocogram. Brit. J. Obstet. Gynaec., 84: 321, 1977.

(No. 4842 昭56 · 2 · 5 受付)